

Abbildung 5.15
Simulierte Oberflächenabflusssummen (a) und Mittelwerte der Bodenfeuchte (b) in der Wurzelzone während des Untersuchungszeitraumes 1999 und 2000 im Wahnbach-Einzugsgebiet

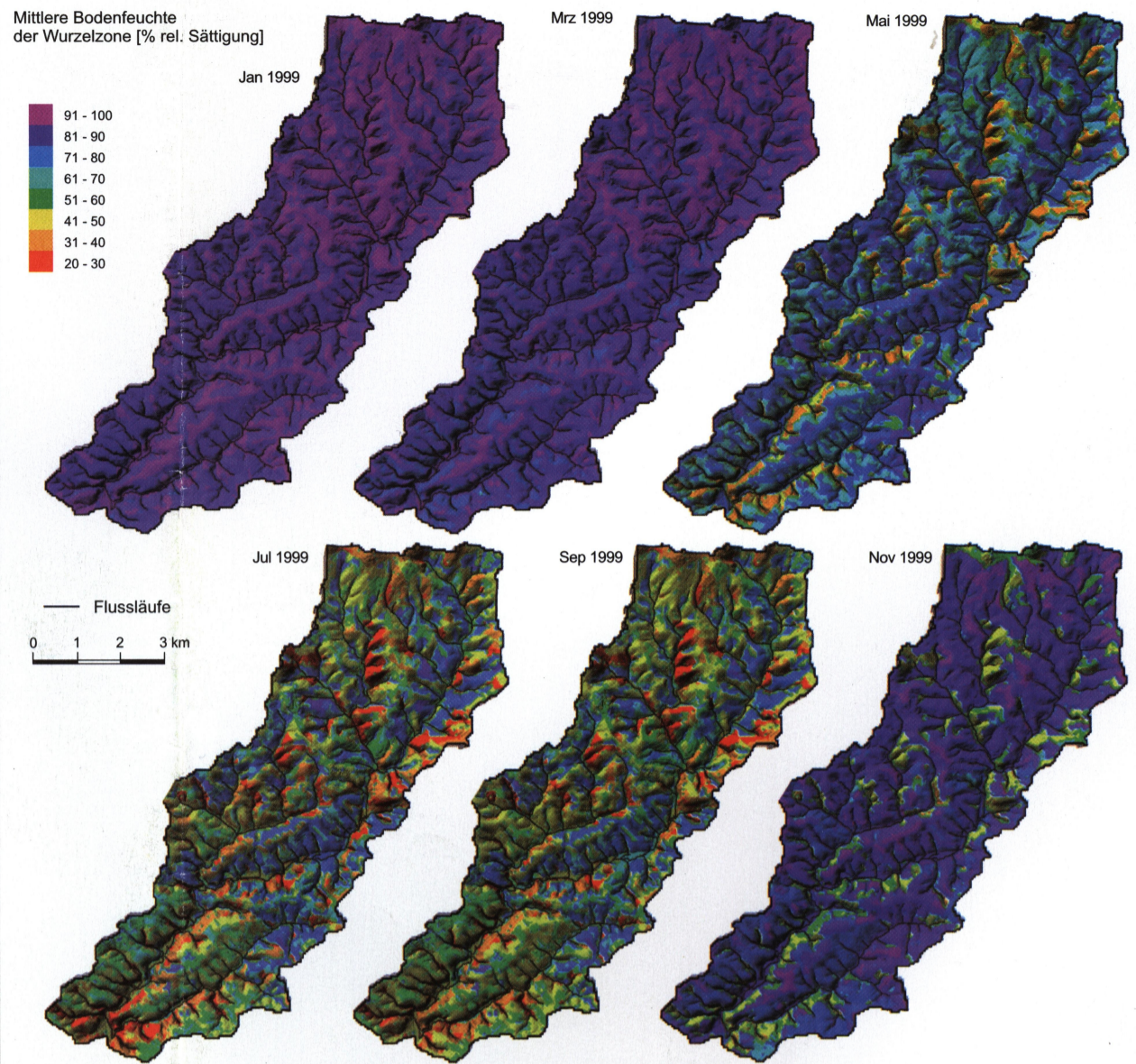


Abbildung 5.16 Monatsmittel der simulierten Bodenfeuchte in der Wurzelzone im Wahnbach-Einzugsgebiet

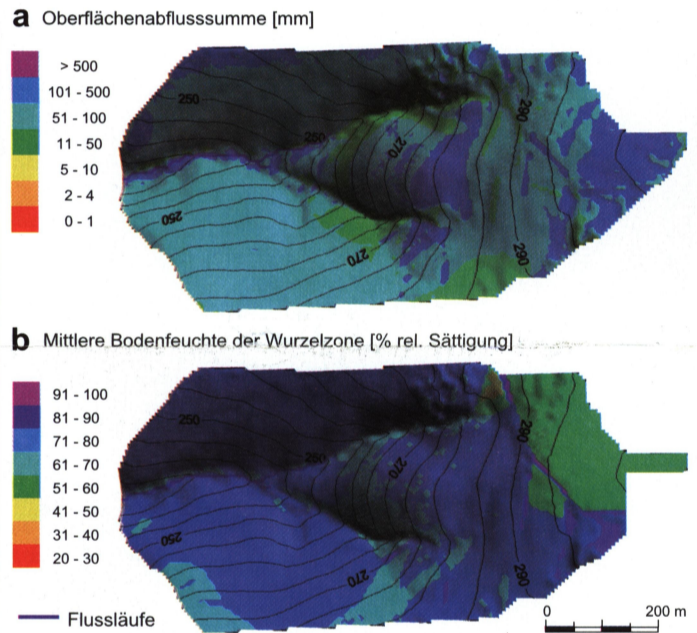


Abbildung 5.17
Summen der simulierten Oberflächenabflüsse (a) und Mittelwerte der Bodenfeuchte (b) in der Wurzelzone während des Untersuchungszeitraumes 1999 und 2000 im Berrensiefen-Teileinzugsgebiet

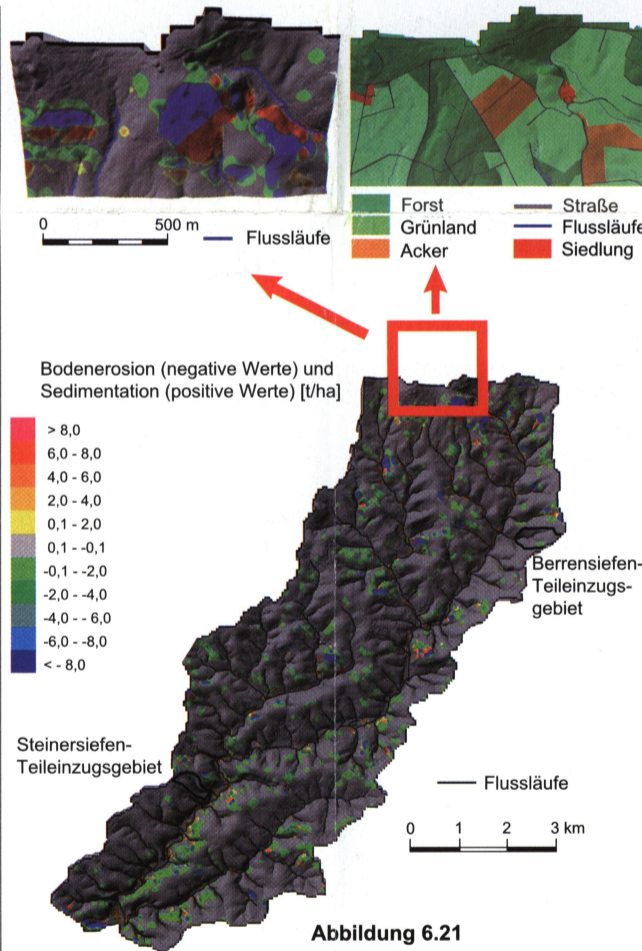


Abbildung 6.21
Simulierte räumliche Verteilung von Bodenerosion und Sedimentation für 64 Ereignisse während des Untersuchungszeitraumes 1999 und 2000 im Wahnbach-Einzugsgebiet

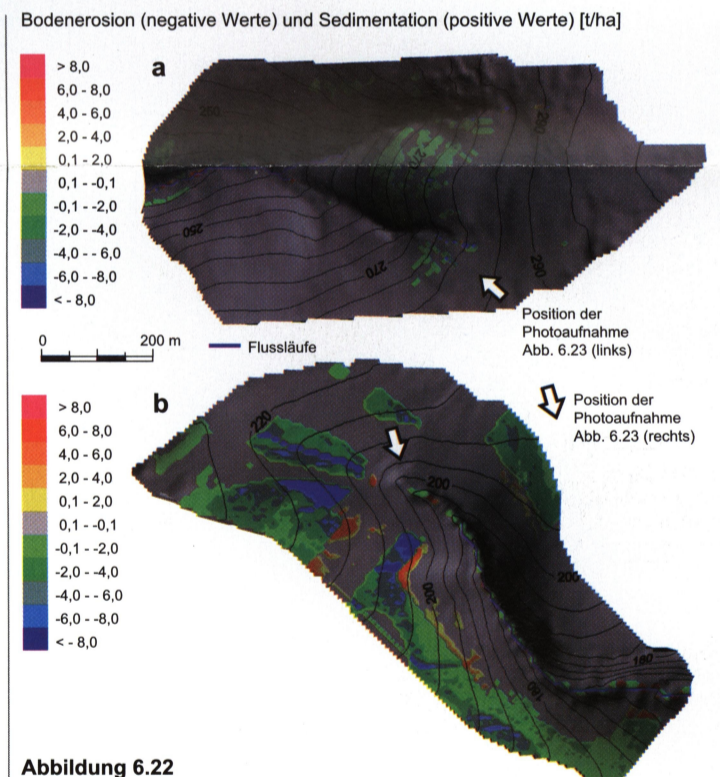


Abbildung 6.22
Simulierte räumliche Verteilung von Bodenerosion und Sedimentation am 07.03.2000 im Berrensiefen-Teileinzugsgebiet (a) und Steinersiefen-Teileinzugsgebiet (b)

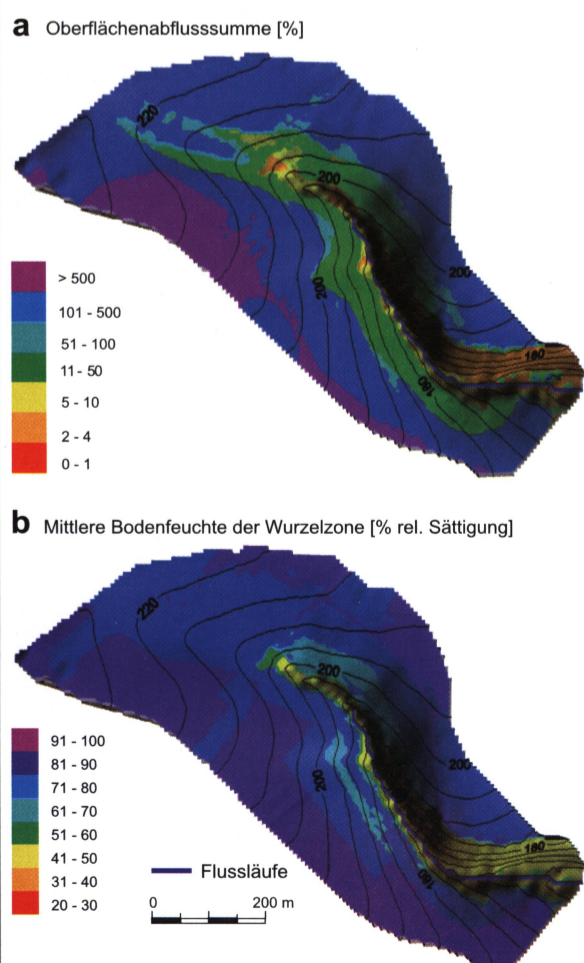


Abbildung 5.18
Summen der simulierten Oberflächenabflüsse (a) und Mittelwerte der Bodenfeuchte (b) in der Wurzelzone während des Untersuchungszeitraumes 1999 und 2000 im Steinersiefen-Teileinzugsgebiet

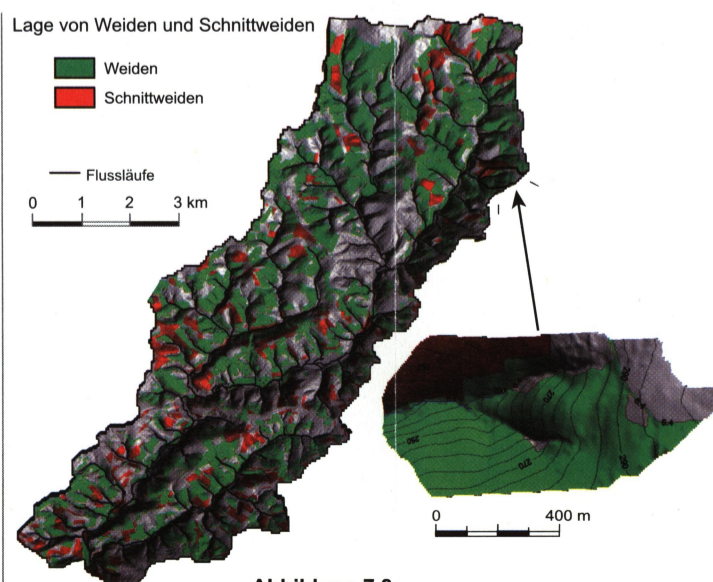


Abbildung 7.8
Lage von Schnittweiden und Weiden im Einzugsgebiet des Wahnbachs (links) und Teileinzugsgebiet des Berrensiefen (rechts)
Kartengrundlage: Landnutzung 1999

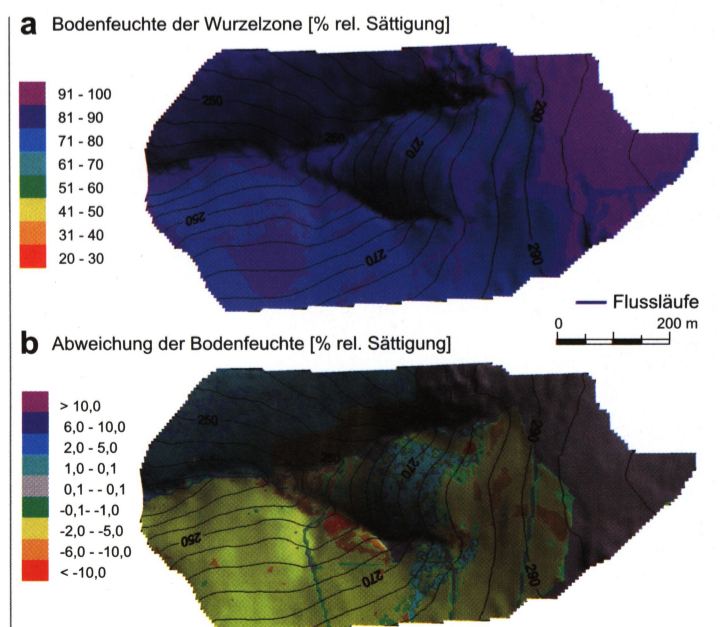


Abbildung 7.9
Simulierte räumliche Verteilung der relativen Bodenfeuchte der nicht modifizierten (a) Parametrisierung sowie deren Abweichung durch die (b) Berücksichtigung von Weiden und Schnittweiden zum Ereignisbeginn am 07.03.2000 im Berrensiefen-Teileinzugsgebiet